

Il momento di dipolo corrispondente è definito come

26

$$\boxed{\vec{p} = q \vec{d}} \quad (121)$$

• Il potenziale ϕ creato dal dipolo che va a zero all'infinito è (eq. 119):

$$\boxed{\phi(\vec{x}) = \frac{q}{4\pi\epsilon_0} \left(\frac{1}{|\vec{x} - \vec{x}'|} - \frac{1}{|\vec{x} - (\vec{x}' + \vec{d})|} \right)} \quad (122)$$

• Consideriamo l'andamento a grandi distanze, vale per $|\vec{x} - \vec{x}'| \gg d$.

Abbiamo

$$\frac{1}{|\vec{x} - \vec{x}' + \vec{d}|} = \frac{1}{|\vec{x} - \vec{x}'|} + \vec{d} \cdot \vec{\nabla} \frac{1}{|\vec{x} - \vec{x}'|} + \dots \quad (123)$$

~
Ricordiamo che per $r = |\vec{x}| \gg r'$ abbiamo, eq. (79-2),

$$\frac{\partial r}{\partial x} = \frac{x}{r}, \dots \Rightarrow \vec{\nabla} \frac{1}{r} = -\frac{\vec{x}}{r^2} \quad (124)$$

e quindi

$$\vec{\nabla} \frac{1}{|\vec{x}|} = -\frac{1}{|\vec{x}|^2} \vec{\nabla} |\vec{x}| = -\frac{\vec{x}}{|\vec{x}|^3} \quad (125)$$

~
Questo si generalizza (mutando trascurando!) a

$$\vec{\nabla} \frac{1}{|\vec{x} - \vec{x}'|} = -\frac{\vec{x} - \vec{x}'}{|\vec{x} - \vec{x}'|^3} \quad (126)$$

per cui la (123) diventa ($\vec{R} = \vec{x} - \vec{x}'$):

$$\frac{1}{|\vec{R} + \vec{d}|} = \frac{1}{R} + \frac{\vec{d} \cdot \vec{R}}{R^3} + \dots \quad (127)$$

e dunque, sostituendo nella (122), il potenziale assume la forma

$$\phi(\vec{x}) = + \frac{1}{4\pi\epsilon_0} q \frac{\vec{d} \cdot \vec{R}}{R^3} + \dots \quad (128)$$

$$\vec{d} = \frac{1}{4\pi\epsilon_0} \frac{\vec{p} \cdot \vec{R}}{R^2}$$

Dalla (126) possiamo ricavare anche

$$\phi(\vec{x}) = \frac{1}{4\pi\epsilon_0} \vec{p} \cdot \vec{\nabla} \left(\frac{1}{R} \right) + \dots = \frac{1}{4\pi\epsilon_0} \vec{p} \cdot \vec{\nabla}' \left(\frac{1}{R} \right) + \dots \quad (129)$$

dove ricordiamo che $R = |\vec{x} - \vec{x}'|$ e con $\vec{\nabla}'$ intendiamo il gradiente preso con le derivate rispetto a \vec{x}' . Dalla (128)

- Siccome per il potenziale elettrostatico il principio di sovrapposizione, abbiamo una densità di dipoli (detta "polarizzazione elettrica") $\vec{P}(\vec{x})$

Dalla (129) otteniamo



$$\phi(\vec{x}) = \frac{1}{4\pi\epsilon_0} \int_V \vec{P}(\vec{x}') \cdot \vec{\nabla}' \left(\frac{1}{R} \right) dV' + \dots \quad (130)$$

(dove $R = |\vec{x} - \vec{x}'|$)

- "Foglio di carica"

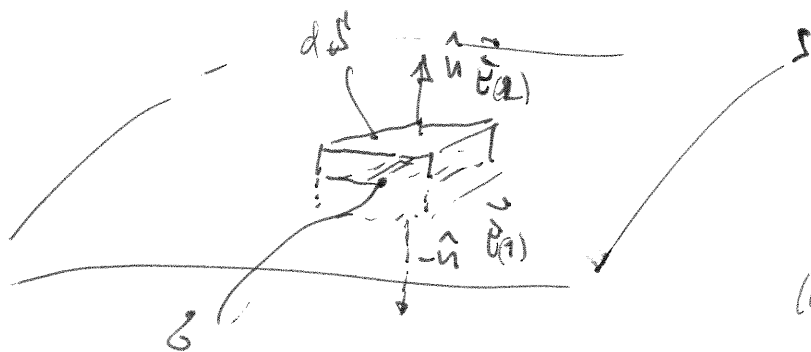
Consideriamo la situazione in cui la carica è distribuita su di una superficie S' , con densità superficiale di carica $\sigma(\vec{x}')$.



L'espressione generale (107) diventa

$$\phi(\vec{x}) = \frac{1}{4\pi\epsilon_0} \int_{S'} \frac{\sigma(\vec{x}')}{R} dS' \quad (131)$$

- Applicando il Teorema di Gauss a una "pill box", infinitesimale δ 28
 attorno a una porzione della superficie carica abbiamo:
 (Se $\vec{E}_{(1)}$ trovi due campi
 immediatamente sopra e sotto la sup.)



• Per simmetria

$$E_{(2)\perp} = -E_{(1)\perp} \quad (132)$$

$$(\text{dove } E_{(i)\perp} = \vec{E}_{(i)} \cdot \hat{n})$$

- Inoltre (campo δ costante in ogni porzione) le componenti \parallel di $\vec{E}_{(1)}$ sono uguali sulle pareti laterali. Dunque

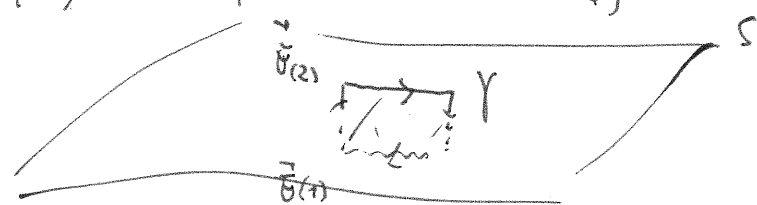
$$\left\{ \begin{aligned} \Phi_E(S) &= \int_S \vec{E} \cdot d\vec{S} = (\vec{E}_{(2)} \cdot \hat{n} - \vec{E}_{(1)} \cdot \hat{n}) dS = 2 E_{(2)\perp} dS \\ \Phi_E(S) &= \frac{dQ}{\epsilon_0} = \frac{\sigma dS}{\epsilon_0} \end{aligned} \right. \quad (134)$$

Gauss

da cui segue

$$\left[E_{(2)\perp} = -E_{(1)\perp} = \frac{\sigma}{2\epsilon_0} \right] \quad (135)$$

- Nel caso elettrostatico l'eq. di Maxwell (3) ci dice che il campo elettrico è irrotazionale: $\vec{\nabla} \times \vec{E} = 0$. Considerando un circuito chiuso infinitesimo che attraversa il foglio di carica come in figura abbiamo (per \vec{E} sempre statico e irrotazionale)



$$0 = \int_{S'} (\vec{\nabla} \times \vec{E}) \cdot d\vec{S}' = \oint_{\gamma} \vec{E} \cdot d\vec{l} = 0 \quad (136)$$

• da (135) si deduce che i contributi verticali, si annullano, per cui

$$0 = E_{(2)11} dl - E_{(1)11} dl \Rightarrow \boxed{E_{(2)11} = E_{(1)11}} \quad (137)$$

• Dunque, la componente tangente del campo elettrico è continua alla superficie carica S' , mentre la componente trasversale è discontinua e la discontinuità si può scrivere come

$$\boxed{(\vec{E}^{(2)} - \vec{E}^{(1)}) \cdot \hat{n}} = \frac{\sigma}{\epsilon_0} \quad (138)$$

• Questa discontinuità si può capire direttamente a partire dall'espressione per il potenziale generato dal foglio di carica, eq (134). Ne esce che

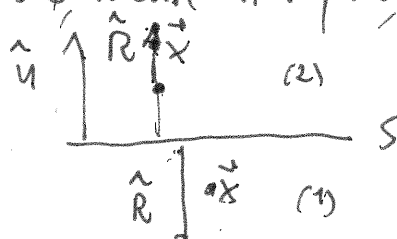
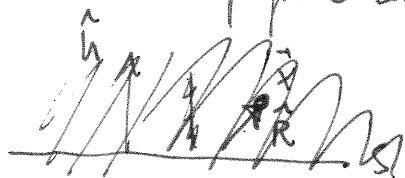
$$\begin{aligned} \vec{E} \cdot \hat{n} &= -\hat{n} \cdot \vec{\nabla} \phi = -\frac{1}{4\pi\epsilon_0} \int_S \sigma(\vec{x}') \hat{n} \cdot \vec{\nabla} \left(\frac{1}{|\vec{x} - \vec{x}'|} \right) ds' \\ &= \frac{1}{4\pi\epsilon_0} \int_S \sigma(\vec{x}') \hat{n} \cdot \vec{\nabla}' \left(\frac{1}{|\vec{x} - \vec{x}'|} \right) ds' \quad (139) \end{aligned}$$

Ritornando (eq. (125)), da

$$\vec{\nabla} \frac{1}{|\vec{x}|} = -\frac{\vec{x}}{|\vec{x}|^2} \Rightarrow \text{per un punto sulla superficie di carica}$$

$$\vec{E} \cdot \hat{n} = -\frac{1}{4\pi\epsilon_0} \int_S \sigma(\vec{x}') \frac{\hat{n} \cdot (\vec{x} - \vec{x}')}{|\vec{x} - \vec{x}'|^2} ds' \quad (140)$$

per \vec{x} prossimo alla superficie abbiamo che \hat{n} è pro $\frac{\vec{x} - \vec{x}'}{|\vec{x} - \vec{x}'|} = \frac{\vec{R}}{R}$ anche di vicino:

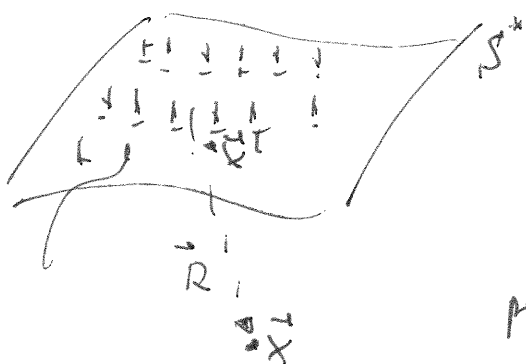


equisto è l'origine della discontinuità.

30

Foglio di Dipoli

Consideriamo ora una distribuzione superficiale di momenti di dipolo.



Partiamo dalla (130) e rimpiazziamo

$$\vec{P} dV' \rightarrow \vec{D} ds' \quad (132)^*$$

densità di dipolo
per unità di
volume

densità di dipolo
per unità di superficie

Così abbiamo

$$\phi(\vec{r}) = \frac{1}{4\pi\epsilon_0} \int \vec{D}(\vec{r}') \cdot \vec{\nabla}' \left(\frac{1}{R} \right) ds' \quad (133)^*$$

Assumiamo che la densità di dipolo \vec{D} sia diretta in direzione \perp alla superficie $\vec{D}(\vec{r}') = D(\vec{r}') \hat{n}(\vec{r}')$. In tal caso la (133) è formalmente analoga alla (131) con $\sigma(\vec{r}') \rightarrow -D(\vec{r}')$ e $\vec{E} \cdot \hat{n} \rightarrow \phi$. Dunque vale l'andamento della relazione di discontinuità (138), e cioè:

$$\left| \phi_{(2)} - \phi_{(1)} \right|_s = \frac{D}{\epsilon_0} \quad (134)^*$$

Dunque, ~~esistere~~ un foglio di dipoli induce una discontinuità del potenziale !

• Per quanto riguarda il campo elettrico si ha invece

$$\vec{E}(\vec{x}) = -\vec{\nabla} \phi(\vec{x}) = -\frac{1}{4\pi\epsilon_0} \int \vec{\nabla} \cdot \vec{\nabla}' \frac{1}{|\vec{x}-\vec{x}'|} d\vec{x}' \quad (135)^*$$

Si ha

$$\vec{\nabla} \cdot \vec{\nabla}' \left(\frac{1}{|\vec{x}-\vec{x}'|} \right) = -\vec{\nabla} \cdot \left(\frac{\vec{x}-\vec{x}'}{|\vec{x}-\vec{x}'|^3} \right) \quad (136)^*$$

D'altronde si ha identicamente (r.o. shiftare l'argomento da \vec{x} a \vec{x}' non modifica il calcolo seguente) ($r=|\vec{x}|$)

$$\vec{\nabla} \left(\frac{x}{r^3} \right) = \frac{\vec{\nabla} \cdot \vec{x}}{r^3} + \vec{x} \cdot \vec{\nabla} \left(\frac{1}{r^3} \right) = \frac{\partial_x x + \partial_y y + \partial_z z}{r^3} + \vec{x} \cdot \vec{\nabla} \left(\frac{1}{r^3} \right) = -3 \frac{\vec{x} \cdot \vec{\nabla}}{r^4} \quad (137)^*$$

Utilizzando le (124)-(126) questo vale

$$\vec{\nabla} \left(\frac{x}{r^3} \right) = \frac{3}{r^3} - \frac{3}{r^4} \vec{x} \cdot \vec{x} = \frac{3}{r^3} - \frac{3}{r^4} r^2 = 0 \quad (138)^*$$

e così si annulla anche la (136). Pertanto il campo elettrico generato dal foglio di dipoli è nullo!

- Possiamo ora considerare alcuni esempi vari di applicazioni delle formule generali che abbiamo visto.
 - Le configurazioni di fogli di carica e di dipolo sono importanti perché si vengono a creare in conduttori carichi o immersi in un campo esterno. Inoltre possono essere utilizzate per descrivere il potenziale in una regione finita, delimitata da una superficie S , utilizzando il teorema di Green, come vedremo in seguito.
- (*)

Cominciamo da un'esercizio sulla ^{equazione di Poisson che determina} ~~funzione~~ ^{espressione (139)} del potenziale in termini della distribuzione di carica 32

• (Esercizio) Il potenziale, mediato nel tempo, di un atomo di idrogeno (allo stato fondamentale) è dato da

$$\phi(\vec{x}) = \phi(r) = \frac{e}{4\pi\epsilon_0} \frac{e^{-\alpha r}}{r} \left(1 + \frac{\alpha r}{2}\right) \quad (139)$$

dove e è la carica del protone, e $\alpha^{-1} = a_{0/2}$ è il raggio di Bohr ($a_0 = ?$)

Trovare la distribuzione di carica che dà origine a questo aspetto e interpretarla fisicamente

Soluzione La densità di carica è determinata dalla eq. di Poisson (93).

Bisogna però tener conto che il potenziale (139) è regolare nell'origine.

Possiamo isolare la singolarità scrivendo

$$\phi = \frac{e}{4\pi\epsilon_0 r} + \bar{\phi} \quad \left(= -\frac{e}{\epsilon_0} G(r) + \bar{\phi} \right) \quad (140)$$

↑
parte regolare

con

$$\bar{\phi} = \frac{e}{4\pi\epsilon_0} \left(\frac{e^{-\alpha r} - 1}{r} \right) + \frac{e\alpha e^{-\alpha r}}{8\pi\epsilon_0} \quad (141)$$

Abbiamo dunque, dalla (70)-(77),

$$-\Delta\phi = \frac{e}{\epsilon_0} \delta^3(\vec{x}) - \Delta\bar{\phi} \quad (142)$$

Dalla (79), siccome $\bar{\phi}$ è solo funzione di r , abbiamo

$$\Delta\bar{\phi}(r) = \frac{1}{r^2} \frac{\partial}{\partial r} \left(r^2 \frac{\partial}{\partial r} \right) \bar{\phi} = \frac{2}{r} \frac{d\bar{\phi}}{dr} + \frac{d^2\bar{\phi}}{dr^2} \quad (143)$$

Es. si può scrivere anche come

$$\Delta \bar{\Phi}(r) = \frac{1}{r} \frac{d^2}{dr^2} (r \bar{\Phi}) \quad (144)$$

In fatti

$$\begin{aligned} \frac{1}{r} \frac{d^2}{dr^2} (r \bar{\Phi}) &= \frac{1}{r} \frac{d}{dr} \left(\bar{\Phi} + r \frac{d\bar{\Phi}}{dr} \right) = \frac{1}{r} \left(\frac{d\bar{\Phi}}{dr} + \frac{d\bar{\Phi}}{dr} + r \frac{d^2\bar{\Phi}}{dr^2} \right) \\ &= \frac{2}{r} \frac{d\bar{\Phi}}{dr} + \frac{d^2\bar{\Phi}}{dr^2} \quad (145) \end{aligned}$$

Dalla (141) segue che

$$r \bar{\Phi} = \frac{e}{4\pi\epsilon_0} (e^{-\alpha r} - 2) + \frac{e\alpha}{8\pi\epsilon_0} e^{-\alpha r} \cdot r$$

e quindi

$$\begin{aligned} \frac{d}{dr} (r \bar{\Phi}) &= \frac{e}{4\pi\epsilon_0} (-\alpha) e^{-\alpha r} + \frac{e\alpha}{8\pi\epsilon_0} e^{-\alpha r} + \frac{e\alpha}{8\pi\epsilon_0} (-\alpha) e^{-\alpha r} \\ &= -\frac{e\alpha}{8\pi\epsilon_0} e^{-\alpha r} - \frac{e\alpha^2}{8\pi\epsilon_0} r e^{-\alpha r}, \end{aligned}$$

da cui

$$\frac{d^2}{dr^2} (r \bar{\Phi}) = \frac{e\alpha^2}{8\pi\epsilon_0} e^{-\alpha r} - \frac{e\alpha^2}{8\pi\epsilon_0} e^{-\alpha r} + \frac{e\alpha^3}{8\pi\epsilon_0} r e^{-\alpha r}$$

Inserendo questi risultati nella (145) troviamo

$$\Delta \bar{\Phi} = \frac{1}{r} \frac{d^2}{dr^2} (r \bar{\Phi}) = \frac{e\alpha^3}{8\pi\epsilon_0} e^{-\alpha r} \quad (146)$$

Dalla (142) abbiamo quindi

$$\begin{cases} -\Delta \Phi = \frac{e}{\epsilon_0} \delta^3(\vec{x}) - \frac{e\alpha^3}{8\pi\epsilon_0} e^{-\alpha r} \\ -\Delta \Phi = \rho/\epsilon_0 \quad (\text{Poisson}) \end{cases} \quad (147)$$

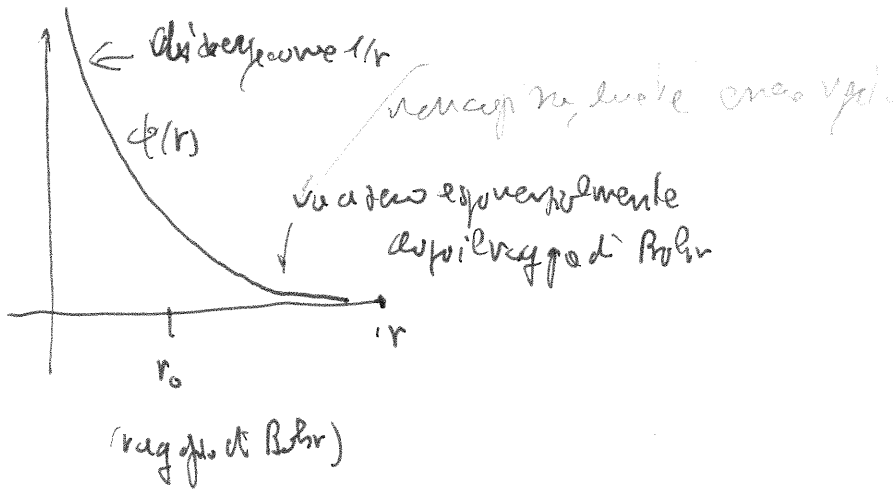
e quindi

$$\rho = e \delta^3(\vec{r}) - \frac{e \alpha^3}{8\pi} e^{-\alpha r} \quad (148)$$

34

carica positiva
puntiforme del nucleo

densità di carica
dovuta all'elettrone
orbitante



La densità di carica contenuta in una sfera di raggio R intorno al nucleo è data da

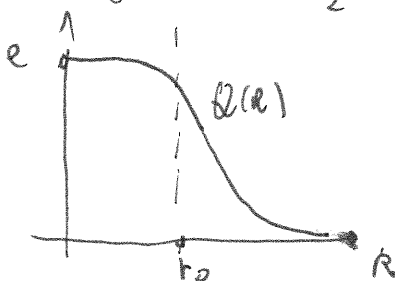
$$Q(R) = \int_{V(R)} \rho d^3x = e - \frac{e \alpha^3}{8\pi} \int_0^R r^2 dr \int_{\Omega} d\Omega e^{-\alpha r}$$

$$= e - \frac{e}{2} \alpha^3 \int_0^R dr r^2 e^{-\alpha r} \quad (\rightarrow z = \alpha r)$$

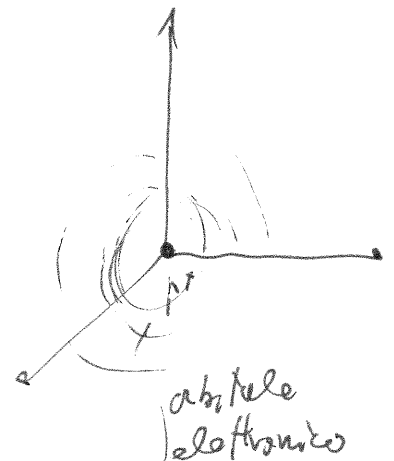
$$= e - \frac{e}{2} \alpha^3 \int_0^{\alpha R} dz z^2 e^{-z} = e f(\alpha R)$$

$$(\text{check ok}) \rightarrow 1 - (\alpha R)^2 + 2\alpha R + 2 e^{-\alpha R}$$

$$= e \left(1 - \frac{1}{2} (\alpha R)^2 + 2\alpha R + 2 e^{-\alpha R} \right) \quad (149)$$



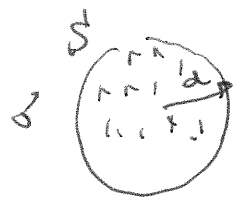
se a maggior $R \rightarrow \infty$ l'atomo è neutro



• Esempio: guscio sferico carico

35

S = sfera di raggio a , uniformemente carica (densità superficiale σ)



• Come ben noto, il campo elettrico fuori ed entro si può calcolare dal teorema di Gauss

col risultato $\vec{E}(\vec{r}) = E(r) \hat{r}$, con

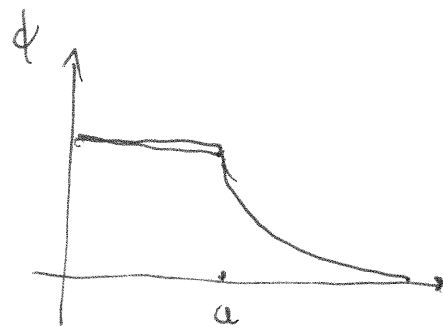
$$\begin{cases} E(r) = \frac{\sigma}{\epsilon_0} \frac{a^2}{r^2} & r > a \\ E(r) = 0 & r < a \end{cases} \quad (150)$$

Il corrispondente potenziale, che è continuo su S , la soluzione deve avere a zero all'infinito è $\phi(\vec{r}) = \phi(r)$, con

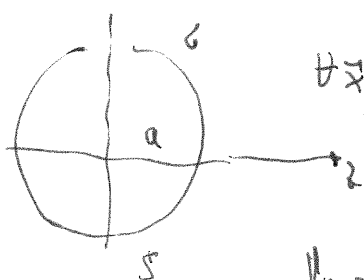
$$\begin{cases} \phi(r) = \frac{\sigma a}{\epsilon_0} \cdot \frac{a}{r} & r > a \\ \phi(r) = \frac{\sigma a}{\epsilon_0} = \text{cost} & r < a \end{cases} \quad (151)$$

Infatti

$$E(r) = -\frac{d}{dr} \phi(r) = \begin{cases} \frac{\sigma a^2}{\epsilon_0 r^2} & r > a \\ 0 & r < a \end{cases}$$



• Possiamo ottenere questo risultato dall'espressione generale ⁽¹³¹⁾ ricavata dalla funzione di Green

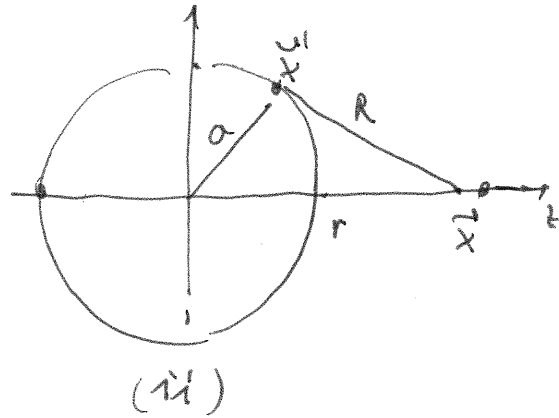
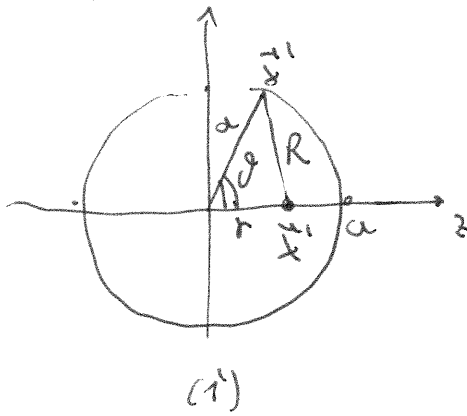


$$\forall \vec{x}, \quad \phi(\vec{x}) = \frac{1}{4\pi\epsilon_0} \int \frac{\sigma}{|\vec{x} - \vec{x}'|} dS' = \frac{\sigma}{4\pi\epsilon_0} \int \frac{dS'}{R} \quad (152)$$

• Possiamo scegliere gli assi in modo che \vec{x} si trovi sull'asse z . Vi è simmetria cilindrica rispetto a tale asse

↳ Sono due casi: $r = |\vec{x}| < a$, $r > a$

36



• Dal teorema del coseno,

$$R^2 = a^2 + r^2 - 2 \cos \theta ar \quad (153)$$

in entrambi i casi.

• Per la misura di integrazione si ha

$$dS' \rightarrow a^2 d\varphi d\cos\theta = a^2 d\varphi d\cos\theta$$

Ma per l'integrale da calcolare in (152) è

$$\int_{S'} \frac{dS}{R} = a^2 \cdot 2\pi \int_{-1}^1 \frac{d\cos\theta}{\underbrace{\sqrt{r^2 + a^2 - 2\cos\theta ar}}_{\equiv R(\cos\theta) \text{ dipende da } r \text{ ed } \cos\theta}} = 2\pi a^2 \left(\frac{-1}{ar} \right) R(\cos\theta) \Big|_{-1}^1 \quad (154)$$

Abbiamo

$$\text{i) } r < a \quad \int \frac{dS}{R} = \frac{-2\pi a}{r} \left(\underbrace{\sqrt{r^2 + a^2 - 2ar}}_{a-r} - \underbrace{\sqrt{r^2 + a^2 + 2ar}}_{a+r} \right) = \frac{-2\pi a}{r} \cdot (-2r) = 4\pi a \quad (155)$$

$$\text{ii) } r > a \quad \int \frac{dS}{R} = \frac{-2\pi a}{r} \left((r-a) - (r+a) \right) = \frac{-2\pi a}{r} (-2a) = \frac{4\pi a^2}{r} \quad (156)$$

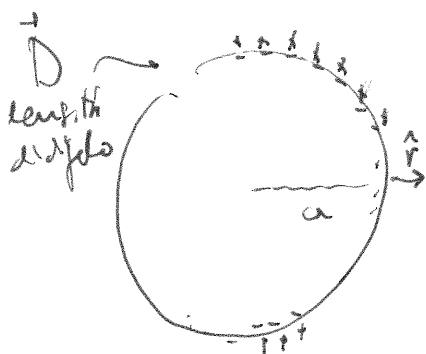
Inserendo questo risultato nella (152) otteniamo

$$i) \quad r < a: \quad \phi(r) = \frac{\sigma}{4\pi\epsilon_0} \cdot 4\pi a = \frac{\sigma a}{\epsilon_0} \quad (157)$$

$$ii) \quad r > a \quad \phi(r) = \frac{\sigma}{4\pi\epsilon_0} \frac{4\pi a^2}{r} = \frac{\sigma a^2}{\epsilon_0 r} \quad (158)$$

in accordo con la (151).

Guscio sferico di dipolo (uniforme)



$$\text{Assumiamo } \vec{D}(\vec{r}') = D \hat{n} = D \hat{r} \quad (159)$$

con D costante
(densità di momento di dipolo)

- Dal teorema di Gauss, si trova subito $\vec{E} = \vec{0}$ sia dentro che fuori
 \Rightarrow il potenziale ϕ deve essere costante

- L'analisi della discontinuità (134), se scegliamo la condizione

$$\phi(r) \xrightarrow[r \rightarrow \infty]{} 0 \quad \text{avremo}$$

$$\phi = \begin{cases} 0 & r > a \\ -D/\epsilon_0 & r < a \end{cases} \quad (160)$$

- Di nuovo, come esercizio, ricorriamo questo risultato delle formule generali (133) che, tenuto conto della (159), dà come (lo si può fare come esercizio)

$$\phi(\vec{x}) = \frac{D}{4\pi\epsilon_0} \int dS' \hat{r}' \cdot \underbrace{\vec{\nabla}' \left(\frac{1}{|\vec{x} - \vec{x}'|} \right)}_{\vec{R} = \vec{x} - \vec{x}'} \quad (161)$$

Ricordiamo che (vedi eq. (125))

$$\vec{\nabla}' \frac{1}{|\vec{x} - \vec{x}'|} = - \frac{\vec{x} - \vec{x}'}{|\vec{x} - \vec{x}'|^3} = - \frac{\hat{R}}{R^2} \quad (162)$$